

弾粘塑性解析への一軸圧縮強度の利用

金沢大学 工学部 太田秀樹

佐藤工業（株） ○鍋谷雅司 藤井信二 山本松生

1. はじめに

有限要素法を用いて軟弱地盤の弾粘塑性解析を行う際、入力パラメーターを直接求めるには、精密な力学試験が不可欠だが、実際には行われない場合が多い。そこで、飯塚・太田・良峰は、塑性指数（PI）を中心としたパラメーター決定法を提案しており、その実用面における適応性を検討している。

今回、腐植土を伴う冲積層から成る盛土基礎地盤を対象として、弾粘塑性解析を行った。ここでは、一軸圧縮試験と標準圧密試験の結果を用いて、破壊に関するパラメーターM（Critical State Parameter）を推定する方法を示し、解析結果について報告する。

解析に用いたプログラム（DACSAR, 1983）は、Biotの圧密理論にもとづき、関口・太田、太田・関口による弾粘塑性構成式を適用したものである。

2. 入力パラメーターの決定手順

飯塚らが提案するパラメーター決定法をベースに、一軸圧縮試験と、標準圧密試験の利用をプラスした決定手順を図-1に示す。以下に、解析に用いたMの推定方法について述べる。

粘性土のMは、図-1中の(2), (3)式を用いてPIから推定することができる。次にPIが測定できない腐植土のMを推定するため、一軸圧縮強度（ q_u ）と、圧密降伏応力（ $\sigma_{vo'}$ ）から求まる強度増加率（ $(Su/\sigma_{vo'})_{NCA} = 0.5 q_u / \sigma_{vo'}$ ）から理論的にMを求めてみる。

太田・西原は、関口・太田モデルを用い、異方圧密された正規粘性土地盤に関する次の理論式を導いている。

$$(Su/\sigma_{vo'})_{NCA} = (1+2K_0)/3 \cdot M/2 \cdot \exp(-\Lambda + \Lambda/M \cdot \gamma_0) \quad -(1)$$

ただし、 $\Lambda = 1 - \kappa / \lambda$ ($= 1 - C_s/C_c$)、 $\gamma_0 = 3(1-K_0)/(1+2K_0)$ $-(2)$

また、次のような、異方正規圧密（NCA）と異方過圧密（OCA）地盤の非排水せん断強度の関係式を導いている。

$$(Su/\sigma_{vo'})_{OCA} = OCR^{\Lambda-1} (Su/\sigma_{vo'})_{NCA} \quad -(3) \quad OCR: 過圧密比$$

(1)式に、 $K_0 = 1 - \sin\phi'$ $-(4)$ 、 $M = 6\sin\phi'/(3 - \sin\phi')$ $-(5)$ の仮定を用いると、次の(6)式が得られる。

$$(Su/\sigma_{vo'})_{NCA} = M(6-M)/(6+M) \exp[-\Lambda(3-M)/(6-M)] \quad -(6)$$

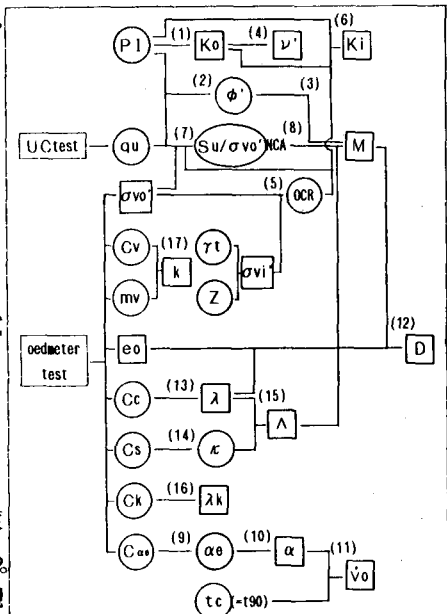
(6)式において、 $\Lambda = 0.4, 0.6, 0.8, 1.0$ における $(Su/\sigma_{vo'})$ とMの関係は、図-1-(b)のようになる。

これより、腐植土のMは次の手順で推定できる。

① 過圧密地盤の場合は、 $(Su/\sigma_{vo'} = 0.5 q_u / \sigma_{vo'})_{OCA}$ を、(3)式により正規圧密地盤の $(Su/\sigma_{vo'})_{NCA}$ に換算する。

② $(Su/\sigma_{vo'})_{NCA}$ の値と、標準圧密試験から求まる Λ を用いて、図-1-(b)によりMが推定される。

さらに、この方法を粘土層に適用するため、PIをパラメーターとして、理論的に得られる非排水せん断強度（ S_u ）と、一軸圧



- (1) $K_0 = 0.44 + 0.0042 PI$ Hassardsch (1959)
- (2) $\sin \phi' = 0.81 - 0.233 \log PI$ Kenney (1959)
- (3) $M = 6\sin\phi'/(3-\sin\phi')$
- (4) $\nu = K_0/(1+K_0)$
- (5) $OCR = \sigma_{vo'}/\sigma_{vo}$
- (6) $K_1 = K_0 (OCR)^{0.54 \exp(-PI/122)}$ Alpan (1967)
- (7) $(Su/\sigma_{vo'})_{NCA} = 1/(OCR)^{-1} (Su/\sigma_{vo'})_{UC}$ $(Su/\sigma_{vo'})_{UC} = (\mu (Su/\sigma_{vo'}))^{1/2}$ (μ from Fig. 1)
- (8) M from Fig. 2. $(Su/\sigma_{vo'})_{UC}, \Lambda$
- (9) $\alpha = 0.434 C \alpha$

- (10) $\alpha = \alpha/(1+\alpha)$
- (11) $\dot{v}_o = \alpha / t_c$
- (12) $D = \lambda \Lambda / (M(1+\alpha))$
- (13) $\lambda = 0.434 C c$
- (14) $\kappa = 0.434 C c$
- (15) $\Lambda = (1 - \kappa / \lambda)$
- (16) $\lambda k = 0.434 C k$
- (17) $K = C v \nu \tau_w$

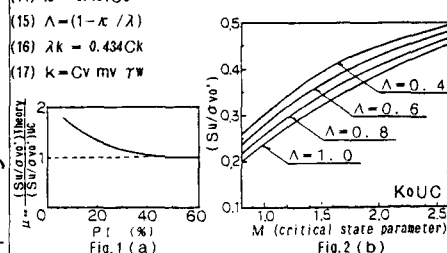


図-1 入力パラメーターの決定手順

縮強度から求まる非排水せん断強度 ($q_u/2$) を比較してみた。

(1)-式に、 $M=6 \sin\phi'/(3-\sin\phi')$ -(5), $\sin\phi'=0.81-0.233\log PI$ -(7) $K_0=0.44+0.0042PI$ -(8), $M=1.75$ \wedge (軽部, 1975)-(9), の仮定を用いること、図-2の理論曲線(実線)が得られる。図-2の破線は、数多くの一軸圧縮試験結果から求めた (S_u/σ_{vo}') _{UC} の平均的な値である。図-2より、PI が50%以下の粘土では、 q_u から求めた (S_u/σ_{vo}') _{UC} を補正する必要がある。図-1-(a)は、 $\mu=(S_u/\sigma_{vo}')_{Theory}/(S_u/\sigma_{vo}')_{UC}$ と PI の関係である。よって、PI が50%以下の粘土の場合、①で得られた (S_u/σ_{vo}') を μ 倍してから②により M が推定できる。

3. 解析方法

図-3に示す盛土基礎地盤(OCR=2~5)に対して、図-1の決定手順に従って入力パラメーターを決定し、弾粘塑性解析を行った。なお、表土層は弾性体とし、弾性係数、透水係数はサンプリングを行い、室内試験により求めた。表土層以深の層における透水係数は、標準圧密試験から得られた値を10倍して用いた。透水係数の変化率 C_k は、標準圧密試験結果を整理して、e ~ log k 関係の勾配とした。同様に、二次圧密係数 C_{ae} も、盛土荷重に相当する載荷段階の e ~ log t 関係の直線部分の勾配とした。Mについては、腐植土、粘土層は一軸圧縮強度から、粘土質砂層はPIから求めた。

4. 解析結果

盛土中央下の沈下量、法尻の変位量、間隙水圧の経時変化を実測値とともに図-4に示す。図中プロットが実測値、実線が解析値である。今回のケースでは、沈下量、間隙水圧に関しては良好な結果が得られた。法尻部では、鉛直変位が過大に、水平変位が過少に評価されている。これは、地表付近の静止土圧係数の仮定値に問題があるものと思われる。全般的に粘性土の定性的な傾向を忠実に表現しており、定量的にも十分であるといえる。

5. おわりに

今回、土質定数の推定が難しい腐植土層を伴う軟弱地盤上の盛土工を対象とし、入力パラメーターの決定に一軸圧縮強度と標準圧密試験結果を利用してみた。解析結果は比較的良好であり、今後も、各種工事のケーススタディにより、実用的な解析手法について検討していきたいと考えている。

6. 参考文献

- 1) 飯塚・太田・良峰(1985); 第20回土質工学研究発表会
- 2) 太田・飯塚(1983); DACSARマニュアル 京大土木施工研
- 3) Sekiguchi&Ohta(1977); Proc. 9th, I.C.S.M.F.E.
- 4) Ohta&Sekiguchi(1979); Proc. 3rd, Int. Conf. Num. Geomech.
- 5) Ohta&Nishihara; SOILS&FOUNDATIONS, Vol. 25, No. 2

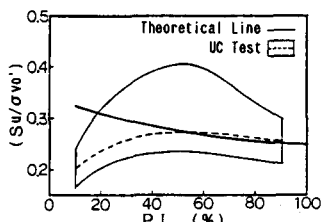


図-2 非排水せん断強度と塑性指数の関係

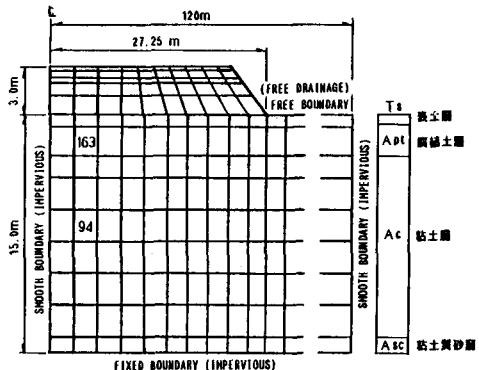


図-3 解析地盤のモデル図

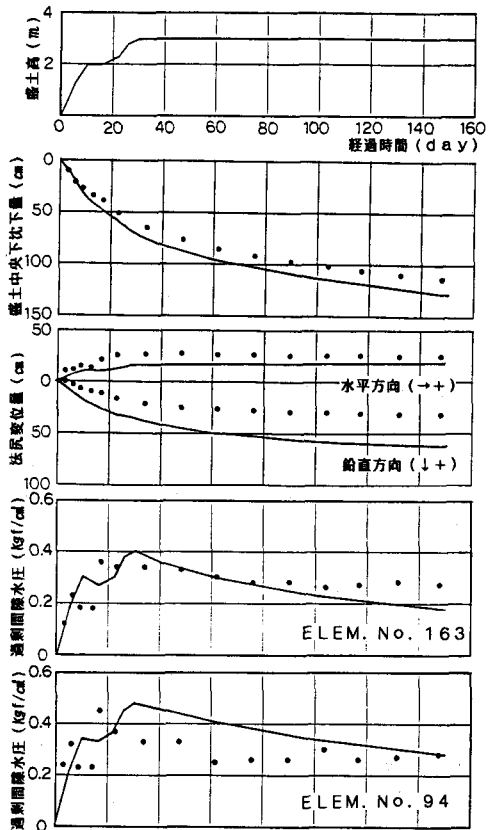


図-4 実測値と解析値の比較